

DS n° 7

I. Echelle de perchoquet

1. Les moments d'inertie sont additifs donc

$$J_{\text{tot}} = \frac{1}{12} (2m)L^2 + 2 \times \left( m \left( \frac{L}{2} \right)^2 \right) = \frac{2}{3} mL^2 \quad \boxed{h = \frac{2}{3}}$$

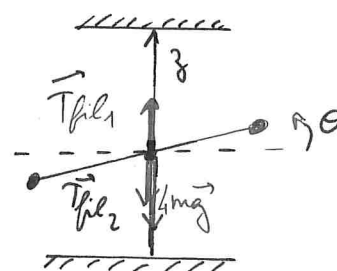
2. Système: barreau      Référentiel: terrestre considéré galiléen

Forces:  $4m\vec{g}$ ,  $\vec{T}_{fil_1}$ ,  $\vec{T}_{fil_2}$ , couples de torsion:  $\vec{\Gamma}_1 = -c\theta \vec{e}_z$   
 $\vec{\Gamma}_2 = -c\theta \vec{e}_z$ .

TMC /  $Oz$  fixe:  $\frac{dL\theta}{dt} = \sum \mathcal{M}_{Oz}(\vec{F})$

avec  $\mathcal{M}_{Oz}(4m\vec{g}) = 0$  car  $4m\vec{g}$  coupe  $Oz$

$\mathcal{M}_{Oz}(\vec{T}_{fil}) = 0$  car  $\vec{T}_{fil}$  coupe  $Oz$



D'où 
$$J_{\text{tot}} \ddot{\theta} = -2c\theta$$

3. Le couple de torsion est conservatif. En effet:

$$\int W(\vec{\Gamma}) = -c\theta d\theta = -d\varepsilon_p \quad \text{avec} \quad \boxed{\varepsilon_p = \frac{1}{2} c\theta^2}$$

D'où 
$$\underline{\underline{E_m = \frac{1}{2} J_{\text{tot}} \dot{\theta}^2 + c\theta^2}} \quad (\text{origine en } \theta = 0)$$

En l'absence de frottement le TEM s'écrit:

$$\Delta E_m = W(\vec{F}_{nc}) = W(\vec{T}_{fil}) \quad \text{avec} \quad \varepsilon_p = mgz_0 = \text{cte}$$

$$= 0 \quad \text{et} \quad W(\vec{T}_{fil}) = 0 \quad \text{car } G \text{ ne bouge pas}$$

Donc 
$$\frac{dE_m}{dt} = 0 = \frac{1}{2} J_{\text{tot}} 2\dot{\theta}\ddot{\theta} + 2c\theta\dot{\theta}$$

Après simplification par  $\dot{\theta}$ : 
$$\boxed{J\ddot{\theta} + 2c\theta = 0}$$

On retrouve bien l'équation différentielle donnée par le TMC

4. Oscillateur harmonique  $\rightarrow$  isochronisme  $\rightarrow$  
$$\boxed{T_0 = \frac{2\pi}{\omega_0} = 2\pi \sqrt{J/2c}}$$

5. On ajoute le couple de frot<sup>t</sup> solide et le TMC /oz fixe donne:  $J\ddot{\theta} = -2C\theta + \vec{\Gamma}_{\text{frot}} \cdot \vec{e}_3$

Il y aura immobilité si  $\vec{\Gamma}_{\text{frot}} \cdot \vec{e}_3 \leq \Gamma_0$  or le TMC pour l'immobilité donne:  $0 = -2C\theta_0 + \vec{\Gamma}_{\text{frot}} \cdot \vec{e}_3$

Donc immobilité si  $2C\theta_0 \leq \Gamma_0 \Rightarrow \theta_0 \leq \frac{\Gamma_0}{2C}$ .

Le bateau se met en mouvement si  $\theta_0 > \frac{\Gamma_0}{2C} = \theta_{\text{crit}}$

6. De m<sup>ême</sup> si  $\theta_0 < 0$ : pas de modification de la mise en équation:  $\vec{\Gamma}_{\text{frot}} \cdot \vec{e}_3 = 2C\theta_0$  s'il y a immobilité

Donc immobilité si  $\underbrace{|2C\theta_0|}_{-2C\theta_0} = \|\vec{\Gamma}_{\text{frot}}\| \leq \Gamma_0 \Rightarrow \theta_0 \geq -\frac{\Gamma_0}{2C}$

Le bateau se mettra en mouvement si  $\theta_0 < -\frac{\Gamma_0}{2C}$

Si le pendule s'arrête dans la zone  $-\frac{\Gamma_0}{2C} \leq \theta_0 \leq \frac{\Gamma_0}{2C}$  il reste immobile.  $(-\theta_{\text{crit}} \leq \theta_0 \leq \theta_{\text{crit}})$ .

7.  $\theta_0 > \theta_{\text{crit}}$ : le pendule se met en mouvement et  $\dot{\theta} < 0$ :

$$\text{donc } \Gamma_{\text{frot}} = +\Gamma_0 \Rightarrow \ddot{\theta} + \frac{2C}{J}\theta = \frac{\Gamma_0}{J}$$

La solution est  $\theta(t) = (\theta_0 - \theta_{\text{crit}}) \cos(\omega_0 t) + \frac{\Gamma_0}{2C}$  (CI  $\theta(0) = \theta_0$   
avec  $\omega_0^2 = 2C/J$ .  $\dot{\theta}(0) = 0$ )

C'est une oscillation sinusoidale autour de  $\theta_{\text{crit}}$ .

Le 1<sup>er</sup> arrêt a lieu lorsque  $\dot{\theta} = -\omega_0(\theta_0 - \theta_{\text{crit}}) \sin(\omega_0 t_1) = 0$

$$\text{donc en } \omega_0 t_1 = \pi \Rightarrow t_1 = \frac{\pi}{\omega_0} = \pi \sqrt{\frac{J}{2C}} = \frac{T_0}{2}$$

Le pendule s'arrête après une demi-oscillation

$$\text{et } \theta(t_1) = \theta_{\text{crit}} - (\theta_0 - \theta_{\text{crit}}) = -\theta_0 + 2\theta_{\text{crit}} = -4\theta_{\text{crit}} = \theta(t_1)$$

8.  $\theta(t_1)$  n'est pas ds la zone d'arrêt donc le pendule repart avec  $\dot{\theta} > 0$ ; on pose  $t' = t - t_1$ :

$$J\ddot{\theta} + \frac{2c}{J}\theta = -\frac{\Gamma_0}{J} \quad (\Gamma_{\text{frot}} = -\Gamma_0 \text{ car } \dot{\theta} > 0).$$

La solution est :  $\theta(t') = -\theta_{\text{crit}} + (\theta(t_1) + \theta_{\text{crit}})\cos\omega_0 t'$

avec un nouvel arrêt en  $t_2'$  tel que  $\omega_0 t_2' = \pi$

donc  $t_2' = \frac{T_0}{2}$  soit  $t_2 = T_0$ . et  $\theta(t_2) = -\theta(t_1) - 2\theta_{\text{crit}}$

9. On se retrouve ds la m<sup>^</sup> situation que' au départ avec  $\theta_0 = -\theta_{\text{crit}}$  remplacé par  $\theta_0' = 2\theta_{\text{crit}}$ .

$\Rightarrow$  on perd  $4\theta_{\text{crit}}$  par oscillation

$\Rightarrow$  c'est une décroissance linéaire de l'amplitude.

10. C'est bien une décroissance linéaire de l'amplitude et  $\theta_0$  passe de  $50^\circ$  à  $15^\circ$  en 3 oscillations donc

$$\theta_{\text{crit}} = \frac{1}{4} \cdot \frac{50 - 15}{3} = \boxed{3^\circ = \theta_{\text{crit}}}$$

11. Syst: baneau 1

Syst: baneau 2

Faces:  $\vec{T}_{\text{fil}_1}, \vec{T}_{\text{fil}_2}, 4m\vec{g}$

Faces:  $-\vec{T}_{\text{fil}_2}, \vec{T}_{\text{fil}_3}, 4m\vec{g}$

$$\vec{\Gamma}_{\text{fil}_1}, \vec{\Gamma}_{\text{fil}_2} = -c(\theta_1 - \theta_2)\vec{e}_y$$

$$\vec{\Gamma}'_{\text{fil}_2} = -c(\theta_2 - \theta_1)\vec{e}_y$$

$$\vec{\Gamma}_{\text{fil}_3} = -c\theta_2\vec{e}_y$$

TMC /  $O_3$  fixe:

la tension du

$$J\ddot{\theta}_1 = -c\theta_1 - c(\theta_1 - \theta_2)$$

fil 2 est  $\theta_1 - \theta_2$

$$J\ddot{\theta}_2 = -c\theta_2 - c(\theta_2 - \theta_1)$$

$$\begin{cases} \textcircled{1} \ddot{\theta}_1 + \frac{2c}{J}\theta_1 = \frac{c}{J}\theta_2 \\ \textcircled{2} \ddot{\theta}_2 + \frac{2c}{J}\theta_2 = \frac{c}{J}\theta_1 \end{cases}$$

Si  $\theta_1 = \theta_2$  le fil entre les 2 pendules n'est pas tillé et le couple est nul.

On retrouve  $\omega_0 = \sqrt{\frac{2c}{J}}$  de la question 4.

12.  $\textcircled{1} + \textcircled{2} \Rightarrow \ddot{s} + \frac{c}{J} s = 0$   
 $\textcircled{1} - \textcircled{2} \Rightarrow \ddot{d} + \frac{3c}{J} d = 0$

$\omega_s = \sqrt{\frac{c}{J}} = \omega_0 / \sqrt{2}$   
 $\omega_d = \sqrt{\frac{3c}{J}} = \sqrt{3} \omega_s$

13.  $s(0) = \theta_0 \quad \dot{s}(0) = 0 \Rightarrow s(t) = \theta_0 \cos(\omega_s t)$   
 $d(0) = \theta_0 \quad \dot{d}(0) = 0 \Rightarrow d(t) = \theta_0 \cos(\omega_d t)$

On retrouve  $\theta_1$  avec  $\theta_1 = \frac{s+d}{2} = \frac{\theta_0}{2} (\cos(\omega_s t) + \cos(\omega_d t))$   
 et  $\theta_2$  avec  $\theta_2 = \frac{s-d}{2} = \frac{\theta_0}{2} (\cos(\omega_s t) - \cos(\omega_d t))$

14. Pour que  $\theta_1$  soit sinusoidal il faut que  $d(t) = 0$   
 donc il faut  $\theta_1(0) - \theta_2(0) = d(0) = 0$

Si  $\theta_1(0) = \theta_2(0)$  (avec  $\dot{\theta}_1(0) = \dot{\theta}_2(0) = 0$ ) [conditions initiales symétriques] seul le mode propre à  $\omega_s$  est présent :  $\theta_1(t) = \theta_2(t) = \theta_0 \cos(\omega_s t)$

Pour le mode propre à  $\omega_d$ , il faut  $s(t) = 0$  donc  $\theta_1(0) = -\theta_2(0)$  [conditions initiales anti-symétriques]  
 $\hookrightarrow \theta_1(t) = -\theta_2(t) = \theta_0 \cos(\omega_d t)$ .

15. Système : aimant = barreau  $n=1$

Forces :  $\vec{T}_{fil1}, \vec{T}_{fil2}, 4m\vec{g}$   
 $\vec{T}_{fil1}, \vec{T}_{fil2}, \vec{T} = -C(\theta_1 - \theta_m \cos \omega t) \vec{e}_y$

Le TMC par rapport à  $O_2$  fixe donne:

$$J \ddot{\theta}_1 = -c(\theta_1 - \theta_{em} \cos \omega t) - c(\theta_1 - \theta_2)$$

et  $J \ddot{\theta}_2 = -c(\theta_2 - \theta_1) - c\theta_2$

En régime établi sinusoïdal  $\theta_1 = \theta_{1m} \cos(\omega t + \varphi_1)$ . On

lui associe la grandeur  $\underline{\theta}_1 = \theta_{1m} e^{j\varphi_1} e^{j\omega t}$

De même pour  $\underline{\theta}_2$

Les équations deviennent: 
$$\begin{cases} \underline{\theta}_1 (-J\omega^2 + 2c) - \underline{\theta}_2 c = c\theta_{em} e^{j\omega t} \\ \underline{\theta}_2 (-J\omega^2 + 2c) - \underline{\theta}_1 c = 0 \end{cases}$$

en introduisant  $\omega_0^2 = \frac{2c}{J}$ : 
$$\underline{\theta}_2 = \underline{\theta}_1 \frac{\frac{1}{2} \omega_0^2}{\omega_0^2 - \omega^2}$$

et 
$$\underline{\theta}_1 = \frac{\frac{1}{2} c \theta_{em} e^{j\omega t}}{\omega_0^2 - \omega^2 - \frac{\omega_0^2}{2} \cdot \frac{\omega_0^2/2}{\omega_0^2 - \omega^2}}$$

Enfinement:

$\underline{\theta}_1 = \frac{(\omega_0^2 - \omega^2) \omega_0^2/2}{(\omega_0^2 - \omega^2)^2 - \frac{\omega_0^4}{4}} \theta_{em} e^{j\omega t}$
$\underline{\theta}_2 = \frac{\omega_0^4/4}{(\omega_0^2 - \omega^2)^2 - \frac{\omega_0^4}{4}} \theta_{em} e^{j\omega t}$

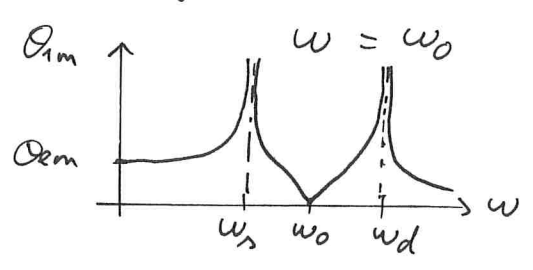
16. 2 fréquences de résonance pour  $\theta_1$  et pour  $\theta_2$  lorsque:

$$(\omega_0^2 - \omega^2)^2 = \omega_0^4/4 \Rightarrow \omega_0^2 - \omega^2 = \pm \frac{\omega_0^2}{2}$$

soit par 
$$\omega_1^2 = \frac{1}{2} \omega_0^2 \text{ et } \omega_2^2 = \frac{3}{2} \omega_0^2$$

On retrouve  $\omega_s$  et  $\omega_d$  de la question 12.

17. Il y a égalité d'antirésonance pour  $\theta_1$  lorsque:



2 osc. couplés forment un système avec 2 pulsations de résonance et 1 pulsation d'antirésonance.

18. Même demande avec  $\vec{\Gamma}_{fil_{n-1}} = -C(O_n - O_{n-1})\vec{e}_z$   
 et  $\vec{\Gamma}_{fil_{n+1}} = -C(O_n - O_{n+1})\vec{e}_z$ .

D'au  $\boxed{\ddot{O}_n + \frac{2C}{F}O_n = \frac{C}{F}(O_{n-1} + O_{n+1})}$  ( $\omega_0^2 = \frac{2C}{F}$ )

19. En notation complexe:  $\underline{O}_n = O_m e^{j\omega t} e^{-jnka}$

D'au  $(\omega_0^2 - \omega^2)\underline{O}_n = \frac{\omega_0^2}{2}(\underline{O}_{n-1} + \underline{O}_{n+1})$

soit:  $(\omega_0^2 - \omega^2)O_m e^{jnka} = \frac{\omega_0^2}{2}O_m (e^{j(n-1)ka} + e^{j(n+1)ka})$

$(\omega_0^2 - \omega^2)O_m = \frac{\omega_0^2}{2}O_m \underbrace{(e^{-jka} + e^{jka})}_{2 \cos(ka)}$

Cette équation a une solution non triviale ( $O_m \neq 0$ )  
 uniquement si:  $\omega_0^2 - \omega^2 - 2 \cos ka \frac{\omega_0^2}{2} = 0$ .

donc si:  $\omega^2 = \omega_0^2 \underbrace{(1 - \cos(ka))}_{2 \sin^2 \frac{ka}{2}} \Rightarrow \boxed{\omega = \omega_0 \sqrt{2} \sin\left(\frac{ka}{2}\right)}$

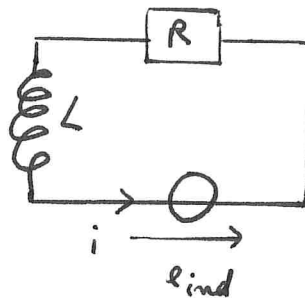
Une onde sinusoïdale peut se propager le long de l'échelle de ferroquet à la condition que  $\omega = \sqrt{2} \cdot \omega_0 \sin\left(\frac{ka}{2}\right)$ .

cf. spé. pour définir le vecteur d'onde  $k$ , la vitesse de phase et la vitesse de groupe ...

## II Rails de Laplace avec bobine:

1. Le schéma électrique est:

La loi des mailles s'écrit



$$e_{ind} = Ri + L \frac{di}{dt}$$

avec  $e_{ind} = - \dot{\Phi}_{ext}$  et  $\Phi_{ext} = a z B$  (\*)

soit 
$$L \frac{di}{dt} + Ri = - a B \dot{z}$$

2. Le schéma mécanique est celui de l'énoncé avec  $i$  ds le sens de  $\vec{e}_x$  sur le rail du bas de la figure ( $\vec{S}$  n'a sens que  $\vec{B}$ ) (\*)

Système: le barreau

Ref: t. c. galiléen

Forces:  $\vec{F}_{op} = F_{op} \cdot \vec{e}_x$  ;  $m \vec{g}$

$\vec{F}_L = i a B \vec{e}_x$  ;  $\vec{R}_{N1}$  ;  $\vec{R}_{N2}$

Le PFD donne selon  $\vec{e}_x$ :

$$m \ddot{u} = i a B + F_{op}$$

3. Injectons l'éq. mécanique ( $\dot{z} = \frac{m}{aB} \dot{u} - \frac{F_{op}}{aB}$ ) ds l'éq élec:

$$\frac{Lm}{aB} \frac{d\dot{u}}{dt} - \frac{L}{aB} \frac{dF_{op}}{dt} + \frac{mR}{aB} \dot{u} - \frac{R F_{op}}{aB} = - a B \dot{z}$$

soit :

$$\ddot{u} + \dot{u} \frac{R}{L} + u \frac{a^2 B^2}{mL} = \frac{R}{mL} F_{op}$$

4. De la forme  $\ddot{u} + \dot{u} \frac{\omega_0}{Q} + \omega_0^2 u = \omega_0^2 u_{lim}$

avec

$$\left\{ \begin{array}{l} u_{lim} = \frac{R}{a^2 B^2} F_{op} \quad : \quad L.T^{-1} = \frac{[Ri^2]}{[a^2 B^2 i^2]} \cdot F = \frac{F.L.T^{-1}}{F^2} \cdot F = L.T^{-1} \\ \omega_0^2 = \frac{a^2 B^2}{mL} \quad : \quad T^{-2} = \frac{[a^2 B^2 i^2]}{M.[Li^2]} = \frac{F^2}{M.F.L} = \frac{M.L.T^{-2}}{M.L} = T^{-2} \\ \frac{\omega_0}{Q} = \frac{R}{L} \Rightarrow Q = \frac{\sqrt{L}}{R} \frac{aB}{\sqrt{m}} \quad : \quad \frac{[Li^2]^{1/2} [aBi]}{[Ri^2] M^{1/2}} = \frac{[M.L.T^{-1}]^{1/2} \cdot F}{F.L.T^{-1} M^{1/2}} = 1 \end{array} \right.$$

$Q = \frac{1}{2}$  (régime critique) pour  $R = \sqrt{\frac{L}{m}} \cdot 2aB$

5. Bilan électrique:  $e_{ind} \cdot i = Ri^2 + \frac{d}{dt} \left( \frac{1}{2} Li^2 \right)$

La P fournie par  $e_{ind}$  est en partie dissipée par effet Joule de R et le reste sert à faire varier l'Énergie magnétique stockée de L.

6. Bilan mécanique: Th de la puissance cinétique:

$$\frac{d\vec{E}_c}{dt} = P(\vec{F}_{op}) + P(\vec{F}_L)$$

La variation d'É du bancan est due à la puissance fournie par l'opérateur et les forces de Laplace

7. On remarque que  $\left. \begin{array}{l} e_{ind} \cdot i = -i a B x \\ P_p(\vec{F}_L) = i a B v \end{array} \right\} P_p(e_{ind}) + P_p(\vec{F}_L) = 0$

D'où le bilan électromécanique.

$$P(\vec{F}_{op}) = \frac{d\vec{E}_c}{dt} + Ri^2 + \frac{d}{dt} E_{mag}$$

La puissance fournie par l'opérateur sert en partie à faire varier l'É cinétique du bancan et l'É magnétique stockée de L. Le reste est fourni à la charge (effet Joule ici).

R: - les phénomènes d'induction ont disparu du bilan : ils ne sont que des intermédiaires de la conversion  $E_{méca} \rightarrow E_{éle}$ .

- En régime établi, il ne reste que:

$$P(\vec{F}_{op}) = Ri^2 \Rightarrow \text{la conversion est totale!}$$



### III Alternateur de bicyclette

9.

1. Modèle du solénoïde infiniment long :

$$\begin{cases} \vec{B}_{int} = \mu_0 n i_{\Sigma} \vec{e}_x \\ \vec{B}_{ext} = \vec{0} \end{cases}$$

2. Par définition :  $L = \frac{\Phi_{propre}}{i_{\Sigma}}$

$$\text{car } \Phi_{propre} = N \cdot \Pi a^2 \cdot \mu_0 n i_{\Sigma}$$

$$\text{soit } \boxed{L = \mu_0 \Pi a^2 n^2 l}$$

$$(n = \frac{N}{l})$$

3. La rotation de l'aimant crée un champ magnétique variable au sein de la bobine. Le flux de  $\vec{B}_a$  travers le solénoïde varie et un f.e.m induite apparaît dans le solénoïde  $\Rightarrow i_{\Sigma} \neq 0$ .

Ce courant dans le solénoïde crée un champ  $\vec{B}_{int}$  qui agit sur l'aimant (force de Laplace).

4.  $\Omega = \dot{\theta}$  donc  $\theta = \Omega t + C$  or  $\theta(0) = 0$  donc  $C = 0$

$$\Rightarrow \boxed{\theta = \Omega t}$$

$$5. \Phi_{\Sigma \rightarrow spire} = \vec{B}_{int} \cdot \vec{S} = \mu_0 n i_{\Sigma} \cdot S \cdot \cos(\Omega t)$$

$$\text{or } \boxed{M = \frac{\Phi_{\Sigma \rightarrow spire}}{i_{\Sigma}} = \mu_0 n S \cos(\Omega t)}$$

Merci Neumann !

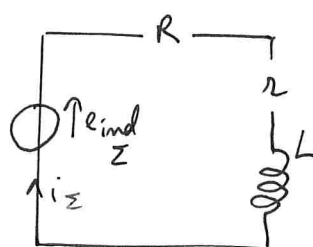
6. On en déduit  $\Phi_{spire \rightarrow \Sigma} = M i = \mu_0 n S i \cos(\Omega t)$

$$\text{or } \vec{m} = S i \vec{n} \text{ donc } \boxed{\Phi_{spire \rightarrow \Sigma} = \mu_0 n m \cos(\Omega t)}$$

7. La loi de Faraday donne

$$\boxed{e_{ind \Sigma} = - \dot{\Phi}_{spire \rightarrow \Sigma} = \mu_0 n m \Omega \sin \Omega t}$$

8. Schéma électrique :



$$\boxed{e_{ind \Sigma} = R i_{\Sigma} + r i_{\Sigma} + L \frac{di_{\Sigma}}{dt}}$$

$$\text{En régime sinusoïdal établi: } \mu_0 n m \Omega e^{j\Omega t} \underbrace{e^{-j\frac{\pi}{2}}}_{-j} = (R + r + jL\Omega) i_{\Sigma}$$

[ $\sin \omega t = \cos(\omega t - \frac{\pi}{2})$ ]

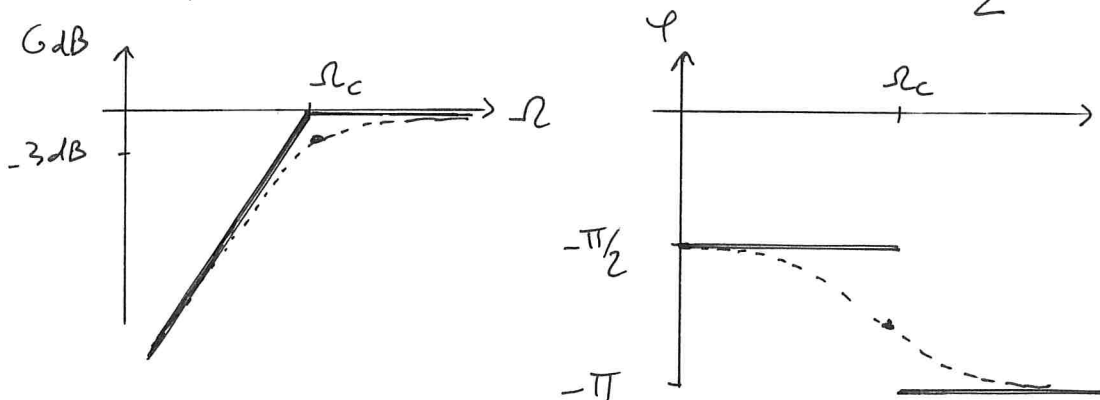
$$\text{D'où } i_{\Sigma} = \gamma_0 n m \frac{-j \Omega}{r+R + jL\Omega} e^{j\Omega t}$$

$$\text{donc } \boxed{I_{\Sigma m} = \gamma_0 n m \frac{\Omega}{\sqrt{(r+R)^2 + L^2 \Omega^2}} \quad \text{et } \varphi = -\frac{\pi}{2} - \arctan \frac{L\Omega}{r+R}}$$

9. C'est un filtre passe-haut du 1<sup>er</sup> ordre:

$$I_{\Sigma m, \text{Max}} = \lim_{\omega \rightarrow 0} (I_{\Sigma m}) = \boxed{\gamma_0 n m / L = I_{\Sigma m, \text{Max}}}$$

10. La pulsation de coupure est  $\Omega_c = \frac{r+R}{L}$ :



$$11. \langle P_{\text{elec}} \rangle = \langle P_r(R) \rangle = \frac{1}{2} R \cdot I_{\Sigma m}^2$$

$$\text{donc } \boxed{\langle P_{\text{elec}} \rangle = \frac{1}{2} R \gamma_0^2 n^2 m^2 \frac{\Omega^2}{(r+R)^2 + L^2 \Omega^2}}$$

$$12. \Gamma_L = (\vec{m} \wedge \vec{B}_{\text{int}}) \cdot \vec{e}_z = m \cdot \gamma_0 n i_{\Sigma} \sin(-\Omega t)$$

Syst: l'aimant      Ref: teneur considéré galiléen

Forces:  $\vec{f}_{\text{oids}}$ ,  $\vec{R}_{\text{axe}}$ ,  $\vec{\Gamma}_{\text{ext}}$ ,  $\vec{\Gamma}_L$

TMC / Oz fixe:  $J_{Oz} \cdot \dot{\Omega} = \Gamma_{\text{ext}} - m \gamma_0 n i_{\Sigma} \sin(\Omega t) \quad (\Gamma_{\text{ext}} = \vec{\Gamma}_{\text{ext}} \cdot \vec{e}_z)$

En remplaçant  $i_{\Sigma}$ :  $\boxed{J_{Oz} \dot{\Omega} = \Gamma_{\text{ext}} - m \gamma_0 n I_{\Sigma m} \cos(\Omega t + \varphi) \sin(\Omega t)}$

13. Pour  $\Omega = \text{cte}$ :  $\Gamma_{\text{ext}} = +m \gamma_0 n I_{\Sigma m} \underbrace{\cos(\Omega t + \varphi) \sin \Omega t}_{\frac{1}{2} \sin(2\Omega t + \varphi) - \sin(\varphi)}$

$$\text{D'où } \langle \Gamma_{\text{ext}} \rangle = -m \gamma_0 n I_{\Sigma m} \frac{\sin \varphi}{2}$$

$$= \frac{1}{2} m \gamma_0 n I_{\Sigma m} \cos(\arctan \frac{L\Omega}{r+R}) = \boxed{\frac{(\gamma_0 n m)^2 \Omega (r+R)}{2 ((r+R)^2 + L^2 \Omega^2)} = \langle \Gamma_{\text{ext}} \rangle}$$

$$14. \quad \langle P_{\text{ext}} \rangle = \langle \Gamma_{\text{ext}} \rangle \cdot \Omega = \frac{(\gamma_0 n m)^2 \Omega^2 (r+R)}{2 ((r+R)^2 + L^2 \Omega^2)}$$

$$\text{or } \langle P_{\text{élec}} \rangle = \frac{(\gamma_0 n m)^2 \Omega^2 R}{2 ((r+R)^2 + L^2 \Omega^2)}$$

$$\text{D'où } \langle P_{\text{ext}} \rangle = \frac{r+R}{R} \langle P_{\text{élec}} \rangle.$$

Le rendement peut se définir par :

$$\text{rendement} = \eta = \frac{\langle P_{\text{élec}} \rangle}{\langle P_{\text{ext}} \rangle} = \frac{\text{ce qui nous intéresse}}{\text{ce qui coûte}}$$

$$\boxed{\eta = \frac{R}{r+R} < 1.}$$

15. -  $\Omega$  = vitesse de rotation de l'axe de l'alternateur

$$v = 15 \text{ km/h} = \text{vitesse des points du pneu} = \frac{d_m}{2} \cdot \Omega$$

$$\boxed{-\Omega = \frac{2v}{d_m} = 333 \text{ rad}\cdot\text{s}^{-1}}$$

$$- P_{\text{élec}} = 3W = \frac{1}{2} \frac{U_{\text{max}}^2}{R} \Rightarrow$$

$$\boxed{R = \frac{U_{\text{max}}^2}{2 \cdot P_{\text{élec}}} = 6 \Omega}$$

$$- U_{\text{max}} = R \cdot \frac{I_{\text{max}}}{\Sigma_{\text{max}}} = \frac{R \gamma_0 n m}{L} \Rightarrow$$

$$\boxed{L = \gamma_0 \frac{n m R}{U_{\text{max}}} = 12,5 \text{ mH.}}$$

$$- \boxed{\Omega_c = \frac{r+R}{L} = 557 \text{ rad}\cdot\text{s}^{-1}}$$

$$x = \frac{\Omega}{\Omega_c} = 0,6 \text{ et } |H| = \frac{x}{\sqrt{1+x^2}} = 0,5 \Rightarrow U \sim \frac{U_{\text{max}}}{2} \Rightarrow P = \frac{P_{\text{max}}}{4}$$

*ce n'est pas suffisant.*

Pour un bon dimensionnement, l'éclairage devrait être maximal

pour  $\Omega$  correspondant à 15 km.h<sup>-1</sup> (vitesse d'un "touriste")

L'asymptote est pratiquement atteinte lorsque  $\Omega \approx 2\Omega_c$ .

Il faudrait donc  $\Omega_c \approx 150 \text{ rad}\cdot\text{s}^{-1}$ .